

# 正压大气有利发展扰动型 与遥相关型的建立

李志锦 纪立人

(中国科学院大气物理研究所, 北京 100080)

## 提 要

本文讨论了夏季纬向不对称气候平均流下通过正压大气内部动力过程建立遥相关型的问题。首先详细描述和讨论了有利发展扰动型的概念及其计算方法。作为对比, 对正规模不稳定进行了分析, 结果表明, 正规模的不稳定增长率很小, 难以用于解释遥相关型的发展。而有利发展扰动型的计算分析表明, 最有利发展的那些扰动型的振幅增长率同实际大气遥相关型的增长率相一致, 并且这些有利发展扰动型都将演变为同实际大气相一致的遥相关型结构。从而提出了, 至少部分实际大气遥相关型可以不依赖于异常外源强迫, 而仅依赖于大气内部的正压过程即能量转换过程而建立起来。

关键词: 正压大气; 遥相关型; 有利发展扰动; 奇异值和矢量。

## 一、引 言

遥相关型的动力学解释一直是近年来大气动力学的一个热点, 目前仍处于争论之中。争论的一个主要焦点是关于外源强迫和大气内在稳定对大气遥相关型作用的关系。Hoskins等<sup>[1,2]</sup>用二维球面上的 Rossby 波的能量频散从理论上提出了异常热源产生遥相关型的机制, 并得到了实际观测的支持<sup>[3]</sup>。然而数值试验表明, 即使没有异常外源强迫, 仍可产生同实际大气相一致的遥相关型<sup>[4]</sup>。还有一些数值模拟表明<sup>[5,6]</sup>不同外源强迫可以产生类似的遥相关型。这至少说明异常外源强迫不是遥相关型产生的唯一机制。从而内在不稳定机制也引起了重视。Simmons等<sup>[7]</sup>提出纬向非对称气候平均流的正压不稳定可以产生大气遥相关型结构。Branstator<sup>[8]</sup>对 GCM 结果进行正规模不稳定分析也证实了这一点。但这些基于正规模的研究都表明不稳定增长率不足以解释遥相关型的发展。Frederiksen<sup>[9]</sup>分析了完全的三维气候平均状态的正规模不稳定, 发现存在结构类似于遥相关型的正规模, 这种正压-斜压的耦合不稳定模可以比正压大气的模态具有更大的增长率, 但要解释遥相关型的发展仍然是不够的, 况且遥相关型的主要发展阶段是正压过程<sup>[10]</sup>。尤其需要指出, 过去多是针对大气具有更大不稳定的冬季情况进行研究。其实在夏季, 遥相关型的活动也是很活跃的<sup>[11]</sup>, 但正压不稳定是很弱的。那么, 如果没有异常外源强迫, 正压过程究竟能否建立强度同实际相致的遥相关型呢?

过去对不稳定研究多是讨论正规模的增长率。但对于线性大气动力系统, 正规模可

1994年5月31日收到, 1994年9月6日收到修改稿。

以是非完备的，还存在连续谱，而且连综谱甚至可以占大气运动的主要部分<sup>[12]</sup>。即使正规模是完备的，它们一般也是非正交的，因此一定的正规模的线性组合可以比单一正规模具有更大的增长率。最近，有限时间不稳定的奇异矢量方法得到迅速发展<sup>[13,14]</sup>。由于奇异矢量的完备正交性，从而克服了正规模方法的缺陷。本文将这一方法用于计算振幅迅速增长的有利发展扰动型，并研究它们的发展同遥相关型建立的关系。

## 二、有利发展扰动型及其计算

考虑  $N$  维动力系统， $x$  为状态矢量，演变方程为

$$\frac{dx}{dt} = F(x). \quad (1)$$

对小扰动演变，此时由线性方程控制，即有

$$\frac{dx'}{dt} = Lx', \quad (2)$$

其中， $L$  是  $t$  时刻  $F$  的 Jacobi。沿着轨线段  $t_0 \leq t \leq t_1$  积分，则(2)式可以写成如下积分形式，

$$x'(t_1) = A(t_1, t_0)x'(t_0) \quad (3)$$

其中  $A(t_1, t_0)$  称为解转移阵，完全由  $L$  决定。

引进内积  $\langle \cdot, \cdot \rangle$ ，其引导的范数为  $\|\cdot\|$ ，我们定义

$$\sigma = \|x(t_1)\| / \|x(t_0)\|, \quad (4)$$

$\sigma$  表示从  $t_0$  至  $t_1$  扰动的振幅平均增长率， $\sigma$  越大，扰动振幅增长越快。 $\sigma > 1$ ，表示扰动振幅是增加的，此时即称之为有限时间不稳定<sup>[14]</sup>。反之  $\sigma < 1$ ，称为有限时间稳定的。而  $\sigma = 1$ ，称为中性稳定的。

对(3)式两边取内积，

$$\|x'(t_1)\|^2 = \langle A(t_1, t_0)x'(t_0), A(t_1, t_0)x'(t_0) \rangle. \quad (5)$$

从而有

$$\|x'(t_1)\|^2 = \langle A^*(t_1, t_0)A(t_1, t_0)x'(t_0), x'(t_0) \rangle, \quad (6)$$

其中  $A^*$  是  $A$  的共轭算子。

尽管  $A$  一般是非对称阵，但易证  $A^* A$  是正定对称阵。引进特征值问题

$$A^* A v = \lambda v. \quad (7)$$

(7)式也称为  $A$  的奇异值问题， $v$  称为奇异矢量， $\lambda^2$  称为奇异值。由泛函知识可知，存在  $v_j$  ( $j = 1, 2, \dots, N$ )，在内积空间中是正交的。它们在内积空间中组成了一组完备正交基。记相应的奇异值为  $\lambda_1^2, \lambda_2^2, \dots, \lambda_N^2$ 。设  $v_j$  已标准归一化，奇异值按从大到小的顺序排列。

对  $x'(t_0)$  进行完备正交展开

$$x'(t_0) = \sum_{j=1}^N a_j v_j, \quad (8)$$

其中  $a_j = \langle x'(t_0), v_j \rangle$ , 称为  $x'(t_0)$  在  $v_j$  上的投影。 (8)式代入(6)式, 利用  $v_j$  的正交归一性, 得

$$\|x'(t_1)\|^2 = \sum_{j=1}^N a_j^2 \lambda_j^2. \quad (9)$$

从而有

$$\sigma^2 = \sum_{j=1}^N a_j^2 \lambda_j^2 / \|x'(t_0)\|^2. \quad (10)$$

对(8)式取内积, 利用  $v_j$  的正交归一性得

$$\|x'(t_1)\|^2 = \sum_{j=1}^N a_j^2. \quad (11)$$

由(10)和(11)式可知: 有限时间扰动振幅的增长率决定于奇异值和初始扰动在不同奇异矢量上的投影(前者反映了基本场的作用, 后者反映了初始扰动本身结构的作用), 初始扰动在那些相应于大的奇异值的奇异矢量上投影越大, 扰动的振幅增长率就越大。

由(10)式还可以看到, 当  $x'(t_0)$  平行于  $v_j$  时, 则

$$\sigma_j^2 = \lambda_j^2. \quad (12)$$

这就表明, 当初始扰动取为相应于大的  $\lambda_j^2$  的奇异矢量时, 扰动的振幅增长率就大。我们把相应于那些最大奇异值的奇异矢量称为有利发展扰动模。另外由(7)式可得

$$AA^*(Av) = \lambda^2(Av). \quad (13)$$

由于  $AA^*$  也是正定对称阵, 故以  $v_j$  为初值的扰动在演变过程中仍保持正交。这一正交性允许我们独立地逐一讨论  $v_j$  为初始扰动的演变。

奇异值问题(7)式的计算可以有两种方法。一种我们称之为直接法: 对方程(2)进行积分, 逐列求出  $A$  (如文献[15]), 然后根据内积的定义求出  $A^*$ , 再直接解  $A^* A$  的特征值问题。现在广泛采用的方法, 我们称之为共轭方程法。在以下计算中就采用这一方法。

引进(2)式的共轭方程

$$-\frac{dx^*}{dt} = L^* x^*, \quad (14)$$

其中  $L^*$  是  $L$  的共轭算子,  $x^*$  是  $x'$  的共轭。对(14)式在  $t_1 \geq t \geq t_0$  上反向时间积分, 则积分形式方程

$$x^*(t_0) = S(t_0, t_1)x^*(t_1). \quad (15)$$

(2)式对  $x^*(t)$  取内积减去(14)式对  $x'(t)$  取内积, 则得

$$\frac{d}{dt} \langle x'(t), x^*(t) \rangle = 0. \quad (16)$$

从而有

$$\langle x'(t_1), x^*(t_1) \rangle = \langle x'(t_0), x^*(t_0) \rangle. \quad (17)$$

将(3)式和(15)式代入(17)式，则有

$$\langle A(t_1, t_0)x'(t_0), x^*(t_1) \rangle = \langle x'(t_0), S(t_0, t_1)x^*(t_1) \rangle. \quad (18)$$

因此有

$$A^*(t_1, t_0) = S(t_0, t_1). \quad (19)$$

由(19)式，对给定  $x'(t_0)$ ，可以通过积分线性方程(2)和相应的共轭方程(14)求出  $A^* A x'(t_0)$  的值。具体计算如下：以  $x'(t_0)$  为初值积分方程(2)到  $t_1$ ，把积分得到的值作为共轭方程  $t = t_1$  时的初值，时间反向积分到  $t_0$ ，积分值即为  $A^* A x'(t_0)$ 。

由此，利用求特征值的幂正交化方法<sup>[16]</sup>，就可以不象直接法那样具体求出  $A$  和  $A^*$  而解奇异值问题(7)式。幂正交化方法的计算可归纳如下：

给定初始猜测阵  $Y^0 = [x_{01}, x_{02}, \dots, x_{0M}]$ ，其中  $x_{0j}$  按列置，且两两正交， $M$  是所要求的特征值个数，且  $M \leq N$ 。计算

$$U^1 = A^* A Y^0,$$

用 Gramm-Shimdt 正交化方法，对  $U^1$  正交化，相当于进行如下计算：

$$Y^1 = U^1 R_1^{-1}.$$

$R_1$  称为正交化阵，它是一个上三角阵。

然后再迭代，即

$$U^{n+1} = A^* A Y^n,$$

$$Y^{n+1} = U^{n+1} R_{n+1}^{-1},$$

$n$  是迭代步，迭代直到  $R_{n+1}$  成为对角阵， $R_{n+1}$  的对角元即为按从大到小的顺序排列的奇异值， $Z_{n+1}$  的列即是相应的奇异矢量。一般说来，奇异值从大到小下降很快，讨论有利发展扰动只需要求较少几个奇异矢量，这时这一方法可以比直接法的计算量小，尤其当模式很复杂， $N$  特别大时，这一方法更为有效。

### 三、基本模式

考虑具有强迫耗散的正压涡度方程

$$\frac{\partial \zeta}{\partial t} + J(\psi, \zeta + f) + k \nabla^4 \zeta + \gamma \zeta = 0, \quad (20)$$

其中相对涡度  $\zeta = \nabla^2 \psi$ ，其他符号同常用。方程已无量纲化，时间  $t$  由地球自转速度倒

数 $\Omega^{-1}$ 无量纲化, 长度由地球半径 $a$ 无量纲化, 而流函数由 $a^2\Omega$ 无量纲化。相应于某一纬向不对称气候平均流, (20)式的线性化方程为

$$\frac{\partial \zeta'}{\partial t} + J(\bar{\psi}, \zeta') + J(\psi', \bar{\zeta} + f) + k \nabla^4 \zeta' + \gamma \zeta' = 0, \quad (21)$$

这里“-”表示气候平均, “/”表示对气候平均的距平。

引进涡度拟能内积

$$\langle \zeta'_a, \zeta'_b \rangle = \frac{1}{S} \int_S \zeta'_a \zeta'_b dS, \quad (22)$$

$S$ 表示对全球积分, 在这内积下, (21)式的共轭方程为

$$-\frac{\partial \zeta^*}{\partial t} = J(\bar{\varphi}, \zeta^*) + \Delta^{-1}[J(\bar{\zeta}^*, \bar{\zeta} + f)] - k \nabla^4 \zeta^* - \gamma \zeta^*, \quad (23)$$

其中 $\Delta^{-1}$ 表示拉普拉期 $\nabla^2$ 的逆算子。 $\zeta^*$ 是 $\zeta$ 的共轭。

考虑球面大气, 用球谐函数谱方法求解方程(21)和(23)。采用三角截断近似, 那么有展开式

$$\zeta' = \sum_{m=0}^l \sum_{n=-m}^l [(\zeta_n^m)^R \cos(m\lambda) + (\zeta_n^m)^I \sin(m\lambda)] P_n^m(\sin\theta), \quad (24)$$

$$\zeta^* = \sum_{m=0}^l \sum_{n=-m}^l [(\zeta_n^{*m})^R \cos(m\lambda) + (\zeta_n^{*m})^I \sin(m\lambda)] P_n^m(\sin\theta). \quad (25)$$

记 $x = [\zeta_0^0, \zeta_1^0, \dots, (\zeta_n^m)^R, \dots, (\zeta_n^m)^I, \dots]$ , 相应 $x^* = [\zeta_0^{*0}, \zeta_1^{*0}, \dots, (\zeta_n^{*m})^R, \dots, (\zeta_n^{*m})^I, \dots]$ , 其中取 $m=1, 2, \dots, 21$ 。求解中, 采用了快速傅利叶变换和谱格点转换方法。

在谱截断近似下, (22)式成为

$$(x_a, x_b) = x_a^T x_b = x_b^T x_a, \quad (26)$$

即为欧几里德内积。由于讨论发展问题往往采用动能范数和流函数平方范数更合适, 为此引进更一般性的内积。

$$\langle x_a, x_b \rangle = (x_a, D x_b) \quad (27)$$

这里 $D$ 为正定对称阵。如果 $D$ 取如下值: 当 $i \neq j$ 时,  $D_{ij} = 0$ , 当 $i = j$ 且 $m = 0$ 时,  $D_{ii} = 1/2C_j^{2(2-s)}$ , 当 $i = j$ 且 $m \neq 0$ 时,  $D_{ij} = 1/C_j^{2(2-s)}$ , 其中 $C_j = j(j+1)$ 。那么当 $s=0$ ,  $\|x\|^2$ 表示全球平均流函数平方, 当 $s=1$ 时,  $\|x\|^2$ 表示2倍全球平均动能, 当 $s=2$ 时,  $\|x\|^2$ 表示全球平均涡度拟能, 把它们统称为广义能量范数。

由上述讨论, 我们可以把求广义能量范数下前 $M$ 个有利发展扰动模的计算过程归纳如下:

(1) 设初始猜测值 $y^{(0)} = (x_1^{(0)}, x_2^{(0)}, \dots, x_m^{(0)})$ , 使 $x_j^{(0)}$ 两两正交, 一般取 $x_j^{(0)} = (0, 0, \dots, 0, 1, 0, \dots, 0)^T$ 即可。

(2) 以 $y^{(0)}$ 为 $t=0$ 时初值, 积分(21)式的谱方程到 $t_1$ , 得到 $U^{(1)}$ , 计算 $V^{(1)} = D U^{(1)}$ 。

(3) 以 $V^{(1)}$ 为 $t=t_1$ 时的初值, 反向时间积分共轭方程(23)的谱方程到 $t=t_0$ , 得

到  $Z^{(1)}$ 。

(4) 将  $Z^{(1)}$  正交化，即  $y^{(1)} = Z^{(1)} R_1^{-1}$ 。

重复步骤 1—4，直到收敛精度。此时  $R$  的对角元即为由大到小排列的特征值，而有利发展扰动模为  $x = D^{-1}y$ 。

#### 四、正规模分析

对方程(21)的谱方程，利用 Hoskins<sup>[1]</sup>所用的技术总可以写成如下形式

$$\frac{dx}{dt} = Lx, \quad (28)$$

其中系数阵  $L$  由气候平均状态所决定，反映了基本场的作用。 $L$  是一个密矩阵，一般是非对称的。由于采用三角截断的球谐函数谱模式 T21， $x$  的维数为  $N = (21 + 1)(21 + 2) = 506$ 。

若存在数  $\lambda$  和矢量  $v$  满足

$$Lv = \lambda v, \quad (29)$$

则称  $\lambda$  为特征值， $v$  为特征矢量。如果  $A$  非对称， $\lambda$  和  $v$  可以是复的。

考虑  $L$  存在  $M$  个线性无关特征矢量  $v_1, v_2, \dots, v_m$ ，相应特征值为  $\lambda_1, \lambda_2, \dots, \lambda_m$ 。设有如下展开式：

$$x = \sum_{j=1}^M x_j v_j. \quad (30)$$

将(30)式代入(28)式，得

$$\sum_{j=1}^M \frac{dx_j}{dt} v_j = \sum_{j=1}^M x_j \lambda_j v_j. \quad (31)$$

由于  $v_j (j = 1, 2, \dots, m)$  线性无关，则可得

$$\frac{dx_j}{dt} = \lambda_j x_j. \quad (32)$$

则有

$$x_j(t) = x_j(0)e^{\lambda_j t}. \quad (33)$$

从而有

$$x(t) = \sum_{j=1}^M x_j(0)e^{\lambda_j t} v_j. \quad (34)$$

解(33)式即称为正规模。而  $\lambda_j = \sigma_j + i\omega_j$ ， $\sigma_j$  是  $\lambda_j$  的实部，称为正规模的增长率， $\omega_j$  是  $\lambda_j$  的虚部，是正规模的振荡频率。

由(33)式和(34)式可知，当  $\sigma_j > 0$  时，正规模振幅将指数增长。此时即称之为正规模不稳定。反之， $\sigma_j \leq 0$  时，称为中性稳定和稳定。

下面将计算  $\sigma_j$ ，以表明正规模不稳定是否可以解释夏季遥相关型的发展。在以下的计算中，包括下一节的计算，基本状态取北半球 7 月份 300 hPa 的气候平均流，资料

来自欧洲中期天气预报中心的 1980—1989 年的 10 年平均风场。其中取流函数南半球同北半球反对称。取耗散系数  $k = 2.386 \times 10^{16} \text{ s}^{-1}$ , 相当于模式中的最小波衰减时间为 4 天。而 Rayleigh 摩擦系数  $\gamma$  作为可调参数, 讨论不同取值对结果的影响。在这里, 分别取  $\gamma$  为 0 和相当于  $e$ -折衰减时间 11 天进行了计算。

计算结果表明, 用正规模不稳定不可能解释遥相关型的发展。表 1 中给出了  $\gamma$  取值为零时的最大前 12 个  $\sigma_j$ , 从表中可以看到, 即使是第 1 个最不稳定模态,  $e$ -倍增长时间达 33.6 天之多, 而到第 10 个已变成负值, 正规模态是稳定的。Simmons 等<sup>[7]</sup>认为正规模增长表示总体增长率, 局地增长率可以更大些, 但要大到足以解释遥相关型的发展无疑是困难的。其实, 实际大气具有摩擦, 当 Rayleigh 摩擦的  $e$ -折衰减时间小于 33.6 天, 所有正规模都是稳定的了。例如表 2 给出了  $\gamma = 11 \text{ d}^{-1}$  的计算结果, 此时不仅每一正规模都稳定, 而且还有相当大的衰减率。

表 1  $\gamma=0$  时正规模增长率

序号	1	2	3	4	5	6	7	8	9	10	11	12
增长率 ( $10^{-2} \Omega$ )	0.473	0.379	0.350	0.270	0.113	0.063	0.031	0.024	-0.014	-0.078	-0.122	-0.182
$e$ -倍时间 (d)	33.6	41.9	45.3	58.7	140.1	252.1	507.4	651.9	-999.8	-203.6	-140.0	-87.0

表 2  $\gamma=11 \text{ d}^{-1}$  时正规模增长率

序号	1	2	3	4	5	6	7	8	9	10	11	12
增长率 ( $10^{-2} \Omega$ )	-0.937	-1.050	-1.081	-1.144	-1.304	-1.355	-1.356	-1.361	-1.378	-1.393	-1.459	-1.521
$e$ -倍时间 (d)	-18.7	-15.9	-15.4	-14.6	-12.8	-12.4	-12.3	-12.2	-12.1	-12.0	-11.4	-11.0

由于  $A$  的非对称性, 一般说来线性无关的特征矢量的个数  $M$  小于线性方程组的维数  $N$ , 也就是线性无关的特征矢量不是一组完备正交基底。而且这  $M$  个矢量一般是非正交的。这样正规模方法就有两个缺陷; 一是正规模方法不能刻划任意初值的不稳定增长, 二是几个正规模的线性组合的增长率可以比单个正规模的增长率更大。由于奇异矢量是完备正交的, 从而克服了这些缺陷, 并可望有利发展扰动的增长率比正规模可大得多。

## 五、有利发展扰动型分析

在以下有利扰动型的计算中, 均取  $\gamma = 11 \text{ d}^{-1}$ , 这一取值同许多研究中的取值相近(如文献[2,13])。观测研究表明, 遥相关型一般在一周期内完全建立<sup>[10]</sup>。为此我们分别计算演变时间为  $t_1 - t_0$  为 4 天、6 天和 8 天的有利发展扰动。计算中都取动能范数。

表 3 给出了演变时间为 4 天、6 天和 8 天的相应于前 12 个扰动模  $v_j$  的平均增幅增长率  $\sigma_j$ 。对 4 天的演变可以看到, 前 12 个扰动模都是增长的。其中第 1 个振幅增长到

表 3 演变时间为 4 天, 6 天和 8 天前 12 个扰动模振幅增长率

序号	1	2	3	4	5	6	7	8	9	10	11	12
4 天	2.54	2.26	2.21	2.12	2.03	1.92	1.87	1.70	1.61	1.55	1.43	1.36
6 天	3.01	2.72	2.34	2.01	1.93	1.80	1.70	1.42	1.41	1.32	1.30	1.26
8 天	3.26	2.85	2.19	1.90	1.79	1.64	1.51	1.37	1.26	1.19	1.14	1.10

初值的 2.54 倍，而前 5 个都增长到了两倍以上。演变时间为 6 天时，前 12 个也都是增长的，第 1 个已增长到 3.00 倍，前 4 个超过了两倍，而第 5 个近于两倍。当演变时间为 8 天，前 12 个模还都是增长的，其中第 1 个增到了 3.25 倍，前 3 个在两倍以上。

从这些结果可以看到，同正规模的振幅都是衰减根本不同，有利发展扰动分析表明了许多初始扰动是发展的，且具有相当大的增长率。前 4 到 5 个扰动模的增长率接近于实际大气中遥相关型的发展。由于  $\sigma_j$  是平均增长率，实际上局部区域的增长率还将更大(这在后面还将具体讨论)。因此，那些最有利发展扰动型的增长率同实际大气的遥相关型发展相一致。

那么有利发展扰动型有什么特征呢？图 1 到图 5 分别给出了演变时间为 8 天的前 5 个有利发展扰动模及其演变到第 8 天的状态。从图 1a 和图 2a 可以看到，前 2 个有利发展扰动模的主要扰动位于东南亚到中太洋区域，其中第 1 个模同第 2 个模除位相差  $1/4$  外结构基本相同。这一主要扰动区正是位于中太平洋到东亚的主要急流区南侧，从图 3a 和 4a 可以看到，第 3 和第 4 个有利发展扰动模的主要扰动位于南美到大西洋中部的区域，这两个模态扰动也差  $1/4$  位相。而这些扰动区位于大西洋急流的南侧。图 5a 是第 5 个模态，主要扰动位于非洲北部，它也位于急流中心的南侧。这些有利发展扰动模中的扰动结构具有很有意义的共同特征：呈所谓的“导式结构”，扰动尺度较小，相当纬向 6—7 波的波长。这些结构特征正是波包理论<sup>[17,18]</sup>所预言的。波包理论表明扰动的这种结构特征，有利于它从基本流获取动能而迅速发展。

下面将表明，这些最有利发展扰动模都演变到相应于实际大气遥相关型的结构。从图 1b 和图 2b 可以看到，第 1 和第 2 模态演变到第 8 天时，最大振幅扰动中心主要位于东北太平洋到北美，此时扰动尺度已明显加大，纬向变成约为 4 波。分析扰动的逐日演变，当扰动从西太平洋向东北传播到东北太平洋后，主要扰动中心就准静止在东北太平洋，不再有明显的移动。这些特征表明，它们同实际观测到的位于北太平洋的遥相关型十分一致<sup>[19,20]</sup>。从图 3b 和 4b 可以看到，第 3 和第 4 模态演变到第 8 天，最大振幅的

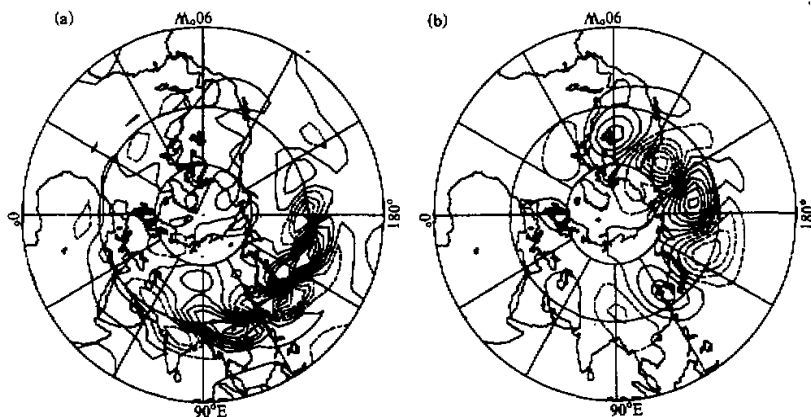


图 1 演变时间为 8 天  
(a) 第 1 有利发展扰动模；(b) 演变到第 8 天的遥相关结构

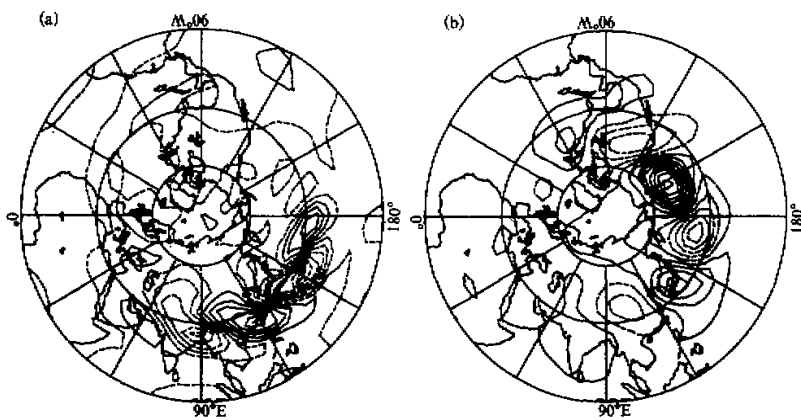


图2 第2有利发展扰动模

其他同图1

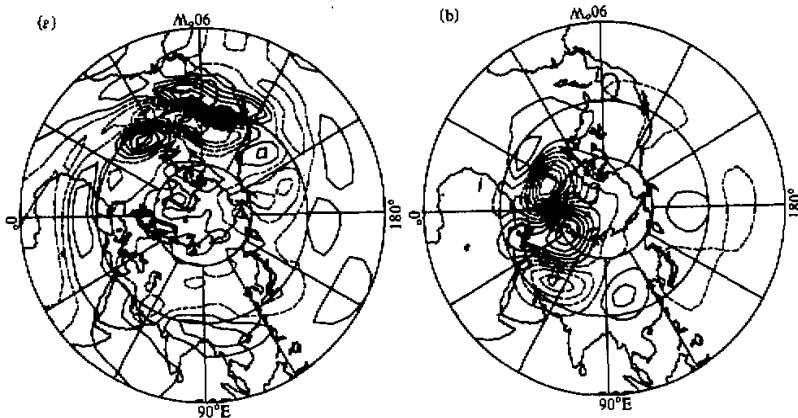


图3 第3有利发展扰动模

其他同图1

扰动主要位于东北大西洋和欧洲北部，此时尺度也增大到纬向约为4波，我们也分析其逐日演变，当主要扰动向东北传播到东北大西洋和欧洲北部以后，也变成准静止状态。这些特征表明第3和第4扰动模演变成了北大西洋遥相关型<sup>[19,20]</sup>。由图5b可以看到，第5模态演变到第8天，最主要扰动位于西太平洋的急流南侧。逐日分析表明，初始位于非洲北部的主要扰动，沿着急流南侧，不断向东传播，振幅不断加大。这些特征相应于南欧亚大陆型遥相关型，这支遥相关型最近受到较大重视<sup>[20,2]</sup>。

Blackmon<sup>[19]</sup>的观测研究表明，低频遥相关型可以分为两类：长时间尺度(大于30天)和中间时间尺度(10—30天)遥相关型。前者具有偶极子结构。后者具有波列结构，其活动中心向下游发展，沿纬向弯曲的射线传播。我们的遥相关型只是同中间时间尺度遥相关型相一致，而月平均资料中得到的遥相关型是不尽相同的。这是需要注意的。

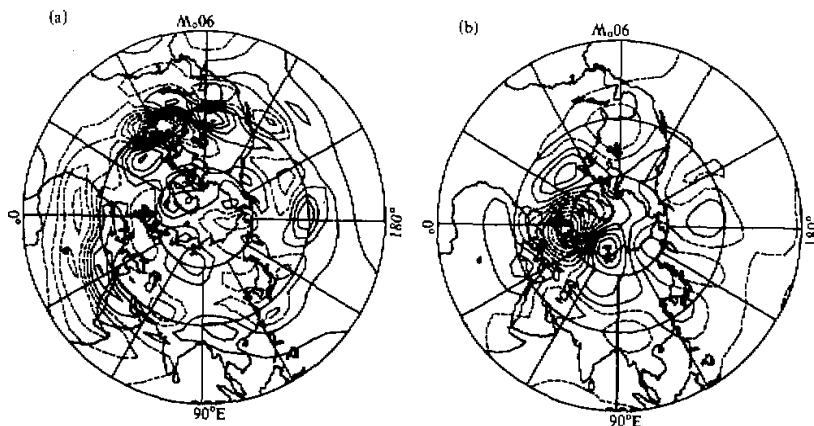


图 4 第 4 有利发展扰动模

其他同图 1

讨论有利扰动模增长率时曾指出,  $\sigma_f$  表示平均振幅增长率, 而局地的扰动可以有更大的增长率。从图 1 到图 5 可以看到, 无论是有利发展扰动模的初始状态, 还是演变到第 8 天的状态, 都表现出强烈的局地特征。为了表明局地有更大增长率, 计算了前 5 个模态各自的扰动最主要的正负中心增长率。表 4 给出的是演变时间为 6 天的结果, 可以看到 5 个模态最主要扰动中心的增长率都在 3.5 倍以上, 其中第 1 个达到 4.2 倍, 而演变时间为 8 天(表 5), 5 个模态的最主要扰动中心的增长率也在 3.5 倍以上, 第 1 个达 5.3 倍。扰动中心这样的增长率, 同实际遥相关型的发展是比较一致的。

表 4 演变时间 6 天前 5 个有利发展扰动模演变

到第 6 天的扰动流函数最主要正负中心增长率

表 5 除了演变时间为 8 天, 其他同表 4

序号	1	2	3	4	5
正中心	4.20	2.88	2.95	3.60	3.40
负中心	3.85	4.00	3.75	3.31	2.61

序号	1	2	3	4	5
正中心	5.32	4.55	3.75	3.75	3.55
负中心	4.90	4.00	3.75	3.20	1.80

## 六、结论与讨论

本文详细描述了计算有利发展扰动型的概念及其计算问题。把有利发展扰动型的计算提成为解一个奇异值的问题。奇异矢量提供了有利发展的初始扰动模, 而相应的特征值则给出了这一扰动模在给定时间内的振幅增长率。在奇异值的计算中我们引进了共轭方程和幂正交化方法, 从而使计算易于实现。值得指出, 虽然本文的计算中基本状态是定常, 但这一方法也适用于计算基本状态为时间演变的情况, 这对误差增长的分析是十分重要的。

在夏季 7 月 300hPa 纬向不对称气候平均流和通常所取的摩擦耗散参数下, 有利发展扰动型的计算分析表明, 那些最有利发展扰动模的振幅增长率同实际大气遥相关型的发展相一致。对演变过程的分析还表明它们的结构都演变到同实际遥相关型相一致的结构状

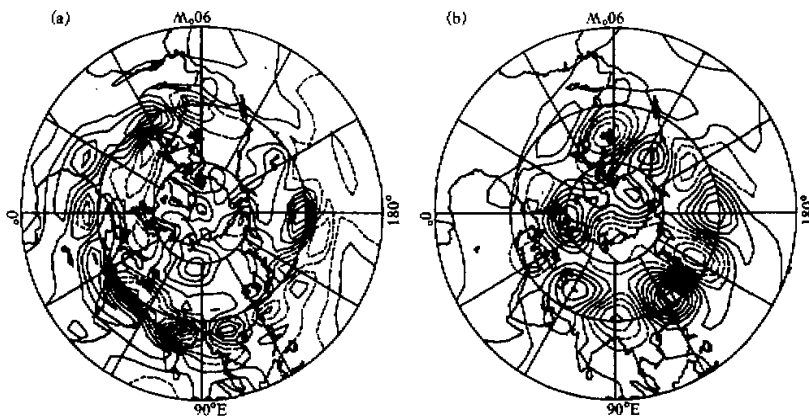


图 5 第 5 有利发展扰动模

其他同图 1

态。从而说明, 至少一部分夏季遥相关型可以是有利发展扰动模发展的结果。而正规模的分析表明, 正规模的不稳定增长率很小, 难以解释实际大气遥相关型的建立过程。

有利发展扰动模具有很强的局地特征, 主要扰动位于急流中心的南侧区域, 且呈导式结构。它们的初始尺度都较小, 纬向尺度大约相当于纬向 7 波的波长。在演变过程中尺度逐渐增大到约为纬向 4 波。这些特征定性上同波包理论的结果相一致。

遥相关型建立的动力学解释中, 正压不稳定机制很受重视。但在以前, 正压不稳定分析主要采用的是正规模方法, 由于正规模的不稳定增长率不足以解释遥相关型的发展而受到怀疑。我们的结果表明了, 至少部分实际大气的遥相关型可以不依赖于异常外源强迫, 而仅依赖于纬向不对称气候平均流下正压过程即正压能量转换而建立, 但它们的发展须依赖于具有比正规模更大增长率的有利发展扰动型。

**致谢:** 完成本文过程中丑纪范教授和李崇银研究员提出了宝贵意见, 曾与任舒展博士就连续谱问题进行了有益的讨论, 在此一并致谢。

## 参 考 文 献

- [1] Hoskins, B.J. et al., 1981, The steady linear response of a spherical atmosphere to thermal and orographic forcing, *J. Atmos. Sci.*, **38**, 1179—1196.
- [2] Hoskins, B.J. et al., 1993, Rossby wave propagation on a realistic longitudinally varying flow, *J. Atmos. Sci.*, **50**, 1661—1676.
- [3] Horel, J. D. et al., 1981, Planetary-scale atmospheric phenomena associated the Southern Oscillation, *Mon. Wea. Rev.*, **109**, 813—829.
- [4] Lau, N.-C., 1981, A diagnostic study of recurrent meteorological anomalies appearing in a 15-year simulation with a GFDL general circulation model, *Mon. Wea. Rev.*, **109**, 2287—2311.
- [5] Geisler, J.E. et al., 1985, Sensitivity of January climate response to the magnitude and position of equatorial Pacific sea surface temperature anomalies, *J. Atmos. Sci.*, **42**, 1037—1049.
- [6] Lau K.-M. et al., 1992, Dynamics of atmospheric teleconnections during the northern summer, *J. Climate*, **5**, 142—158.

- [7] Simmons, A. J. et al., 1983, Barotropic wave propagation, instability and atmospheric teleconnection patterns, *J. Atmos. Sci.*, **40**, 1263—1392.
- [8] Branstator, G. W., 1985, Analysis of general circulation model sea surface temperature anomaly simulations using a linear model, *J. Atmos. Sci.*, **42**, 2225—2254.
- [9] Frederiksen, J. S., 1988, Alternative theories of atmospheric teleconnections and low frequency fluctuations, *Rev. Geophys.*, **26**, 459—494.
- [10] Dole, R. M., 1986, The life cycles of persistent anomalies and blocking over the northern Pacific, *Rev. Geophys.*, **29**, 31—69.
- [11] 李金龙, 纪立人, 1994, 夏季北半球 500hPa 位势高度持续性异常的地理分布及区域特征, 大气科学, **18**, 164—172.
- [12] 任新晨, 1993, 准地转模型中的连续谱动力学理论及大气环流中的应用, 中国科学院大气物理研究所博士论文.
- [13] Borges, M. D. et al., 1992, Barotropic instability and optimal perturbations of observed nonzonal flows, *J. Atmos. Sci.*, **49**, 335—354.
- [14] Molteni, F. et al., 1993, Predictability and finite-time instability of the northern winter circulation, *Quater J. Roy. Meteor. Soc.*, **119**, 269—298.
- [15] Lorenz, 1965, A study of the predictability of a 28 variables atmospheric model, *Tellus*, **17**, 321—333.
- [16] 冯 康, 1981, 数值计算方法, 国防工业出版社, 北京, 402—420.
- [17] 卢佩生、曾庆存, 1981, 正压大气扰动的演变, 大气科学, **5**, 1—8.
- [18] Zeng Qingcun, 1982, On the evolution and interaction of disturbances and zonal flow in rotation barotropic atmosphere, *J. Meteor. Soc. Japan*, **60**, 24—31.
- [19] Blackmon, M. L. et al., 1984, Horizontal structure of 500 mb height fluctuations with long, intermediate and short time scales, *J. Atmos. Sci.*, **41**, 961—979.
- [20] Hsu, H.-H. et al., 1992, Global teleconnections in the 250 mb streamfunction field during the Northern Hemispheric winter, *Mon. Wea. Rev.*, **120**, 1169—1190.

## Preferred Perturbations of Growth in the Barotropic Atmosphere and Dynamics of Teleconnection

Li Zhijin and Ji Liren

(Institute of Atmospheric Physics, Chinese Academy of Sciences, Beijing 100080)

### Abstract

The goal of this study is to determine whether the generation of teleconnection patterns can result solely from the internal barotropic processes of the zonally varying climatological flow in the northern summer. The results of analysis of normal modes indicate that the growth rate of unstable normal modes is insufficient to explain the generation of realistic teleconnection patterns. Then, a concept of preferred perturbation of growth is introduced. An approach to find the preferred perturbances of growth is described in detail. The results of calculations show that the amplification rate of the leading preferred perturbations of growth is consistent with that of realistic teleconnection patterns. Moreover, they evolve into the structure of realistic teleconnection patterns. The preferred perturbation of growth possesses highly localized spatial structures with the wavetrain appearance, most of them are localized to the south of regions of the jet cores. It is suggested that at least some of teleconnection patterns can form as a consequence of internal barotropic processes of the zonally asymmetrical basic state, but depend on the preferred perturbations of growth, which have larger growth rate than that of unstable normal modes.

**Key words:** barotropic atmosphere; teleconnection pattern; preferred perturbation of growth; singular value and vector.